

**BACCALAURÉAT GÉNÉRAL**

**Session 2013**

**PHYSIQUE-CHIMIE**

**Série S**

**Enseignement de Spécialité**

**Durée de l'épreuve : 3 heures 30 – Coefficient : 8**

**L'usage des calculatrices est autorisé.**

**Ce sujet ne nécessite pas de feuille de papier millimétré.**

**Ce sujet comporte 12 pages numérotées de 1/12 à 12/12**

**La feuille d'annexe (page 12/12)  
EST À RENDRE AGRAFÉE À LA COPIE**

<b>EXERCICE I : COMPOSITION D'UN VIN (9 points)</b>
---

La teneur maximale en dioxyde de soufre d'un vin est imposée par une réglementation européenne. Celle-ci précise également la notion d'acidité totale en lien avec la présence d'acide tartrique dans le vin.

Dans cet exercice, on s'intéresse à la détermination de ces deux grandeurs.

**Les parties 1 et 2 sont indépendantes.**

Les documents utiles à la résolution sont rassemblés en fin d'exercice.

**Données :**

- Masses molaires atomiques :

Élément	H	C	O	N	S
M (g/mol)	1,00	12,0	16,0	14,0	32,1

- Masse molaire de l'acide tartrique, noté  $H_2A$  :  $M(H_2A) = 150 \text{ g.mol}^{-1}$
- Couples acide/base, valeurs de pKa :
  - Couples du dioxyde de soufre :
    - $pK_a(SO_2, H_2O / HSO_3^-) = 1,9$  ;  $pK_a(HSO_3^- / SO_3^{2-}) = 7,2$
  - Couples du dioxyde de carbone :
    - $pK_a(CO_2, H_2O / HCO_3^-) = 6,4$  ;  $pK_a(HCO_3^- / CO_3^{2-}) = 10,3$
  - Couples de l'acide tartrique noté  $H_2A$  :
    - $pK_a(H_2A/HA^-) = 3,0$  ;  $pK_a(HA^-/A^{2-}) = 4,4$
- En présence d'empois d'amidon, le diiode donne à une solution aqueuse une teinte violet foncé.  
Les ions iodure  $I^-$ , les ions sulfate  $SO_4^{2-}$  et le dioxyde de soufre en solution sont incolores.

### 1. Dosage du dioxyde de soufre dans un vin.

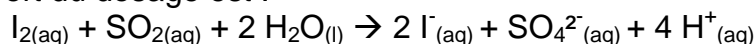
Un laboratoire départemental d'analyse doit déterminer la concentration de dioxyde de soufre  $SO_{2(aq)}$  dans un vin blanc. Un technicien dose ce dernier à l'aide d'une solution de diiode aqueux  $I_{2(aq)}$ .

Pour cela, il introduit dans un erlenmeyer, un volume  $V_1 = (20,00 \pm 0,05) \text{ mL}$  de vin blanc limpide très peu coloré en vert pâle, 4 mL d'acide sulfurique incolore et 1 mL d'empois d'amidon également incolore.

La solution titrante, de concentration en diiode  $C_2 = (1,00 \pm 0,01) \times 10^{-2} \text{ mol.L}^{-1}$  est ensuite ajoutée jusqu'à l'équivalence repérée par le changement de couleur du milieu réactionnel.

L'équivalence est obtenue après avoir versé un volume  $V_E = (6,28 \pm 0,05) \text{ mL}$  de solution de diiode.

L'équation support du dosage est :



- 1.1. Préciser, en justifiant, le changement de couleur qui permet de repérer l'équivalence.
- 1.2. Déterminer la concentration molaire  $C_1$  en dioxyde de soufre de ce vin et en déduire que sa concentration massique  $C_{mexp}$  en dioxyde de soufre est égale à  $0,201 \text{ g.L}^{-1}$ .
- 1.3. Déterminer l'incertitude relative  $\frac{\Delta C_{mexp}}{C_{mexp}}$  dont on admet que, dans les conditions de l'expérience, elle satisfait à :
- $$\left(\frac{\Delta C_{mexp}}{C_{mexp}}\right)^2 = \left(\frac{\Delta V_E}{V_E}\right)^2 + \left(\frac{\Delta C_2}{C_2}\right)^2 .$$
- En déduire un encadrement de la concentration massique  $C_{mexp}$  obtenue par le technicien.
- 1.4. Cette concentration est-elle conforme à la réglementation européenne ? Justifier.

## 2. Acidité « totale » d'un vin et acide tartrique.

- 2.1. Molécule d'acide tartrique.
- 2.1.1. Écrire la formule semi-développée de la molécule d'acide tartrique, puis identifier dans cette formule les groupes fonctionnels présents.
- 2.1.2. Recopier la représentation de Cram de l'acide tartrique naturel puis, en justifiant, repérer le(s) carbone(s) asymétrique(s) présents s'ils existent.
- 2.2. Propriétés acido-basiques de l'acide tartrique.
- On ajoute à une solution d'acide tartrique une solution d'hydroxyde de sodium  $\text{Na}^+_{(aq)} + \text{HO}^-_{(aq)}$  jusqu'à ce que le pH du mélange soit égal à 7.
- 2.2.1. Justifier, qu'à pH = 7, l'espèce chimique prédominante dans le mélange est la forme  $\text{A}^{2-}$ .
- 2.2.2. Choisir alors parmi les deux propositions suivantes l'équation de la réaction qui se produit dans ces conditions entre l'acide tartrique et les ions  $\text{HO}^-$ . Justifier.
- $$\text{H}_2\text{A} + \text{HO}^- \rightarrow \text{HA}^- + \text{H}_2\text{O} \quad (1)$$
- $$\text{H}_2\text{A} + 2 \text{HO}^- \rightarrow \text{A}^{2-} + 2 \text{H}_2\text{O} \quad (2)$$
- 2.3. Acidité totale d'un vin blanc.
- Pour déterminer l'acidité totale d'un vin blanc d'appellation protégée, on introduit 20,0 mL de ce vin dans une fiole à vide et on procède au dégazage du vin. On doit alors ajouter un volume  $V = 15,5 \text{ mL}$  d'une solution d'hydroxyde de sodium de concentration molaire  $C = 0,100 \text{ mol.L}^{-1}$  à cet échantillon pour obtenir un mélange de pH = 7.
- 2.3.1. Quel est l'intérêt du dégazage du vin ?
- 2.3.2. Calculer la quantité de matière  $n_{\text{HO}^-}$  d'ions  $\text{HO}^-$  correspondante puis la masse d'acide tartrique pouvant réagir avec cette quantité d'ions  $\text{HO}^-$ . En déduire « l'acidité totale » du vin étudié.

## DOCUMENTS POUR L'EXERCICE I

**Document 1** : Extrait de la réglementation sur le vin.

Réglementation européenne :

... « La concentration massique en dioxyde de soufre ne doit pas dépasser 210 mg.L<sup>-1</sup> dans un vin blanc »...

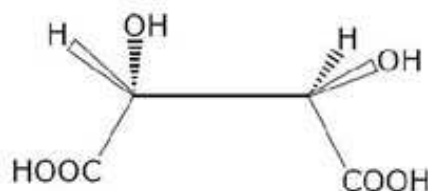
**Document 2** : L'acide tartrique.

L'acide tartrique est l'acide majoritaire dans le vin. Parmi les acides faibles que peut contenir le vin, on trouve également deux gaz dissous dans l'eau dont la présence contribue à apporter de l'acidité au vin : le dioxyde de soufre et le dioxyde de carbone.

L'acide tartrique a joué un rôle important dans la découverte de la chiralité chimique. Louis Pasteur a poursuivi cette recherche en 1847 en étudiant la morphologie des cristaux de tartrate double de sodium et d'ammonium.

L'acide tartrique naturel est chiral, ce qui signifie qu'il est constitué de molécules dont l'image dans un miroir ne lui est pas superposable.

Représentation de Cram de la molécule d'acide tartrique naturel :



D'après le site [www.societechimiquedefrance.fr](http://www.societechimiquedefrance.fr)

**Document 3** : Acidité totale d'un vin.

L'acidité totale du vin se mesure en g/L équivalent d'acide tartrique. Sa détermination se fait en amenant le pH du vin à 7,0 par addition d'une solution d'hydroxyde de sodium  $\text{Na}^+_{(\text{aq})} + \text{HO}^-_{(\text{aq})}$  sur un échantillon de vin dont on a extrait le gaz carbonique. Le volume de solution d'hydroxyde de sodium ajouté permettrait de faire réagir une masse d'acide tartrique qui correspond à l'acidité totale du vin.

**EXERCICE II : EFFET DOPPLER ET ASTROPHYSIQUE (6 points)**

*L'effet Doppler constitue un moyen d'investigation utilisé en astrophysique. Il permet de déterminer la vitesse des astres à partir de l'analyse spectrale de la lumière que ceux-ci émettent.*

*Cet exercice s'intéresse à deux applications distinctes, à savoir le modèle d'Univers en expansion et la détection d'une étoile double « spectroscopique ».*

**Les parties 1 et 2 sont indépendantes.**

Les documents utiles à la résolution sont rassemblés en fin d'exercice.

**Donnée :**  $1 \text{ \AA} = 0,1 \text{ nm}$

**1. Preuve de l'expansion de l'Univers**

- 1.1. En utilisant le document 3, déterminer la longueur d'onde médiane du doublet de  $\text{Ca}^+$  dans le spectre de la galaxie nommée : NGC 691.  
Sachant que la longueur d'onde médiane  $\lambda_0$  de ce doublet mesurée sur Terre pour une source au repos est de  $5268 \text{ \AA}$ , calculer le « redshift »  $z$  caractérisant le décalage vers le rouge de cette galaxie, défini dans le document 1.
- 1.2. Calculer la vitesse d'éloignement de la galaxie NGC 691 par rapport à la Terre.
- 1.3. À l'aide des documents 1 et 2, établir dans le cas non relativiste, la relation entre la vitesse d'éloignement  $V$  de la galaxie et sa distance  $d$  à la Terre, montrant que  $V$  est proportionnelle à  $d$ .
- 1.4. À partir des valeurs du nombre  $z$  données dans le document 2, montrer que l'expression utilisée pour calculer la vitesse d'éloignement des galaxies donnée dans le document 1 n'est pas applicable dans tous les cas.

## 2. Détection d'une étoile double « spectroscopique ».

*On appelle « étoile double » un système stellaire composé de deux étoiles proches en orbite autour du même point (ce point étant le centre d'inertie  $G$  du système). Une étoile double « spectroscopique » est constituée de deux astres trop proches pour être séparés par un télescope optique et ne peut être détectée que par l'étude de son spectre à haute résolution. Le mouvement des deux étoiles provoque en effet un léger déplacement des raies d'absorption du spectre par effet Doppler.*

Dans les questions suivantes, on suppose que les deux étoiles A et B décrivent des orbites circulaires de même rayon  $R$ , avec la même valeur de vitesse  $V = V_A = V_B$ . La période de rotation commune aux deux étoiles A et B est notée  $T$  : c'est la période de l'étoile double.

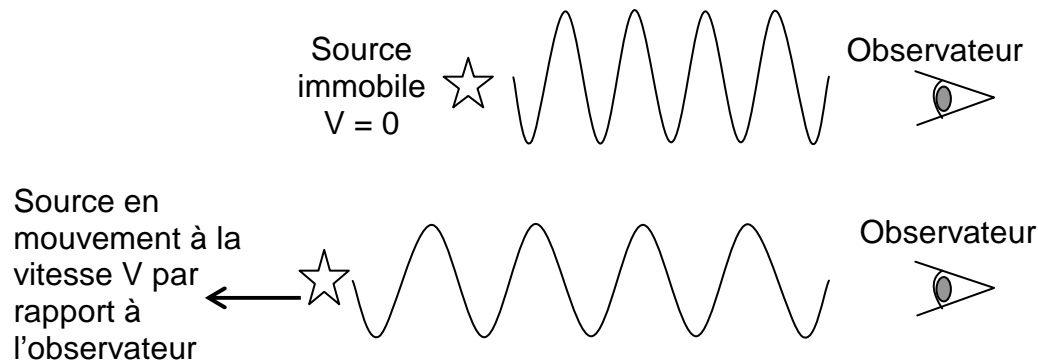
- 2.1. Expliquer pourquoi, dans la situation décrite sur le document 4, on a  $\lambda_A > \lambda_B$ .
- 2.2. Sachant que l'effet Doppler ne se manifeste pas lorsque le vecteur vitesse de la source est perpendiculaire à la direction de visée, compléter en justifiant le tableau de l'**ANNEXE À RENDRE AVEC LA COPIE**. Schématiser sans souci d'échelle le spectre correspondant à chaque configuration et montrer que l'évolution temporelle de ces spectres est périodique, de période  $T/2$ .
- 2.3. En utilisant les spectres du document 5 qui montrent l'évolution temporelle de la position de la raie  $H\alpha$  dans le spectre de l'étoile double HD 80715, vérifier que la période  $T$  de celle-ci est voisine de 3,8 jours.

## DOCUMENTS DE L'EXERCICE II

**Document 1** : Principe de l'effet Doppler.

On note  $\lambda_0$  la longueur d'onde de référence de la raie étudiée dans le spectre (source immobile par rapport à l'observateur) et  $\lambda$  la longueur d'onde de la radiation émise par la source en mouvement.

Lorsqu'une étoile s'éloigne de la Terre, on observe un décalage vers les grandes longueurs d'onde appelé « redshift » et caractérisé par le nombre  $z = \frac{\lambda - \lambda_0}{\lambda_0}$ .



La formule de Doppler donne la vitesse d'éloignement  $V$  de la source lumineuse par rapport à l'observateur terrestre dans le cas non relativiste :

$$V = c \frac{\lambda - \lambda_0}{\lambda_0}$$

$c$  est la célérité de la lumière dans le vide ( $c = 2,99792 \times 10^8 \text{ m.s}^{-1}$ ).

**Document 2** : Décalage vers le rouge.

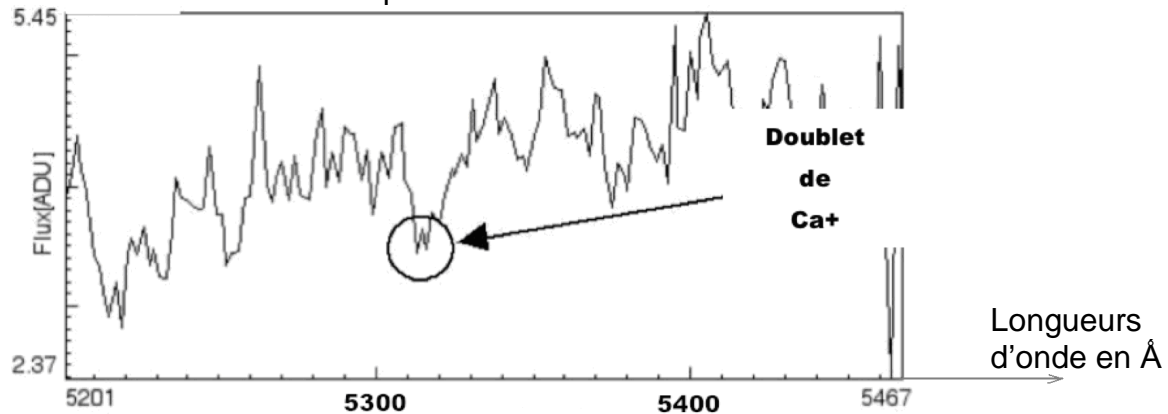
En 1930, Edwin HUBBLE avait constaté expérimentalement que plus les galaxies étaient lointaines, plus leur spectre présentait un décalage vers le rouge important.

Le « décalage vers le rouge », qui sera appelé « redshift » apparaît, quand il est petit, comme proportionnel à la distance :  $z = \frac{H_0 d}{c}$  où  $H_0$  est une constante appelée

constante de Hubble.

Ce décalage est traditionnellement interprété comme dû à la vitesse d'éloignement des galaxies. Cette interprétation, si elle est vraie pour les « redshifts » petits est en fait fondamentalement erronée dans une perspective de relativité générale. Les « redshifts » observés vont d'une fraction de l'unité pour la plupart des galaxies, à 4 ou 5 pour les objets les plus lointains, quasars, ou certaines autres galaxies.

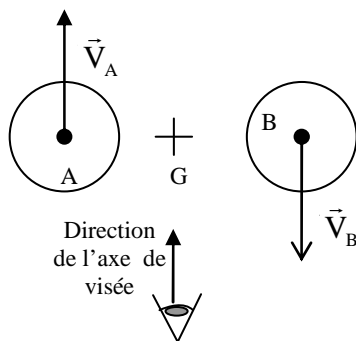
D'après « Cosmologie : Des fondements théoriques aux observations »  
Francis Bernardeau (CNRS Editions – EDP sciences)

**Document 3** : Extrait du spectre de NGC 691.

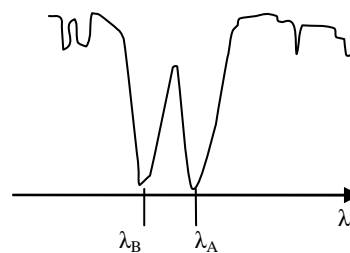
Source : observatoire de Haute Provence, logiciel libre SalsaJ.

**Document 4** : Effet du mouvement des deux composantes d'une étoile double sur une raie d'absorption si l'axe reliant les deux étoiles est perpendiculaire à l'axe de visée.

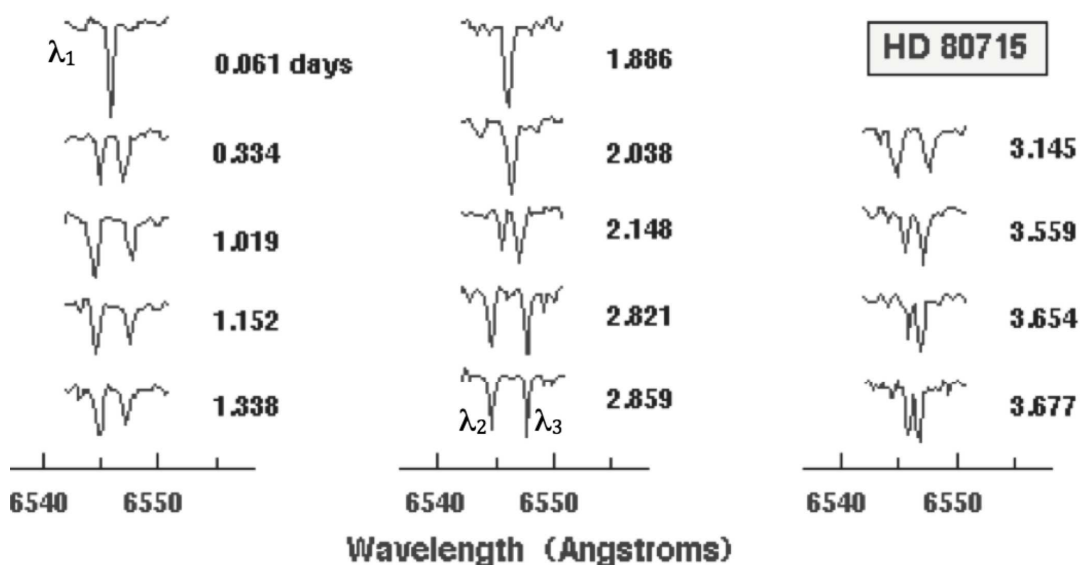
a) Configuration :



b) Spectre observé (extrait) :



On note :  $\lambda_A$  la longueur d'onde de la raie provenant du spectre de l'étoile A et  $\lambda_B$  la longueur d'onde de la raie provenant du spectre de l'étoile B.

**Document 5** : Évolution temporelle de la position de la raie H $\alpha$  dans le spectre de l'étoile HD 80715.

Crédit : "Observatoire de Paris / U.F.E."

**EXERCICE III : À PROPOS DE LA PROTECTION CONTRE LE BRUIT (5 points)**

*Dans cet exercice on cherche à évaluer le niveau sonore auquel peut être exposé un ouvrier sur un chantier de construction et on présente une technologie innovante de lutte contre le bruit.*

**Les documents nécessaires sont regroupés en fin d'exercice.**

1. Technologie « ANR ».
  - 1.1. Nommer le phénomène ondulatoire utilisé par la technologie « ANR » pour réduire le bruit reçu.
  - 1.2. Expliquer théoriquement et à l'aide de schémas simples comment ce phénomène peut annuler la perception d'une onde progressive sinusoïdale.
2. On considère un bruit extérieur, reçu par une personne sur un chantier, caractérisé par une intensité sonore  $I_1 = 1,0 \times 10^{-3} \text{ W.m}^{-2}$  à la fréquence de 500 Hz.
  - 2.1. Calculer le niveau sonore  $L_1$  du son reçu par cette personne (sans casque).
  - 2.2. En déduire le niveau sonore  $L_2$  du son à travers un casque avec protection « NoiseMaster® », puis calculer l'intensité sonore  $I_2$  correspondante.
3. Sur un chantier de travaux publics, un ouvrier (sans casque) est placé à une distance  $R = 1,0 \text{ m}$  d'un engin émettant un bruit de fréquence moyenne 125 Hz avec une puissance sonore  $P = 15 \text{ mW}$ .
  - 3.1. Déterminer, en justifiant, si le bruit perçu par cet ouvrier présente un danger pour son système auditif.
  - 3.2. L'ouvrier met son casque avec protection « NoiseMaster® ». Quel est alors le niveau sonore ressenti ? Le danger persiste-t-il ?
  - 3.3. L'ouvrier retire son casque et s'éloigne pour se positionner à 10 m de l'engin. Cette opération est-elle plus efficace que celle décrite en 3.2. en termes de protection contre le bruit ?

## DOCUMENTS POUR L'EXERCICE III

**Document 1** : Quelques données.

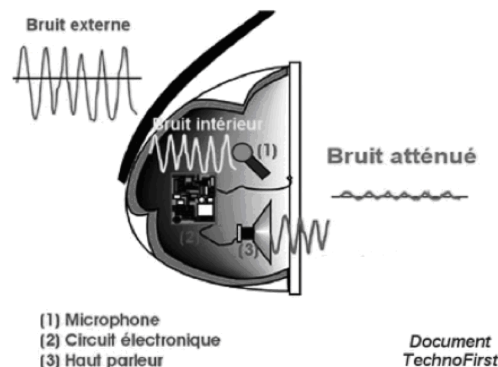
- Relation entre niveau sonore  $L$  (dB) et intensité sonore  $I$  ( $\text{W.m}^{-2}$ ) :  $L = 10 \log\left(\frac{I}{I_0}\right)$  avec  $I_0 = 1,0 \times 10^{-12} \text{ W.m}^{-2}$ , intensité sonore de référence.
- L'intensité sonore  $I$  à une distance  $R$  d'une source émettant dans toutes les directions est reliée à la puissance sonore  $P$  de cette source par la relation  $I = \frac{P}{S}$  où  $S$  représente la surface de la sphère de rayon  $R$  ( $S = 4\pi R^2$ )

**Document 2** : Echelle de niveaux sonores.

Niveau sonore (dB)	0	60	85	90	120
Effet sur l'auditeur	Limite d'audibilité	Bruit gênant	Seuil de risque	Seuil de danger	Seuil de douleur

**Document 3** : Casque actif anti bruit.

La société TechnoFirst® a développé la gamme de casques NoiseMaster® équipés de la technologie ANR® (Active Noise Reduction®).



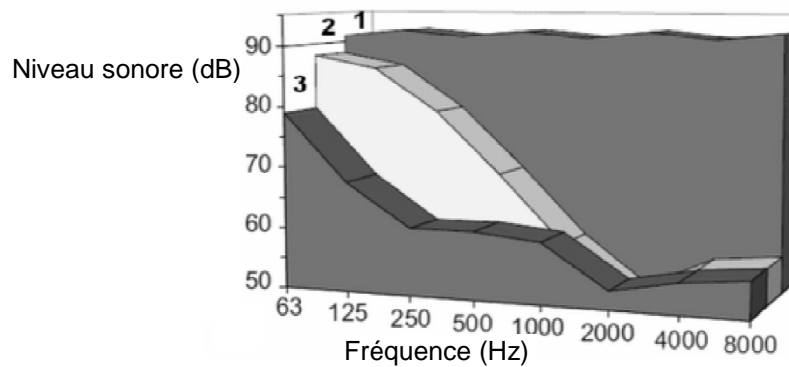
La technologie ANR® repose sur un système électronique miniaturisé (2) placé à l'intérieur de la coquille du casque. Ce système est connecté d'une part à un petit microphone (1) qui capte le bruit ambiant et d'autre part à un petit haut parleur (3) qui génère le « contre bruit » à proximité de l'oreille de façon à atténuer considérablement le bruit qui arrive au tympan.

Ce casque nécessite l'utilisation de piles électriques.

Source : [www.technofirst.com/](http://www.technofirst.com/)

**Document 4** : Les différents types de casques antibruit.

Il existe deux types de casques antibruit : les casques passifs et les casques actifs. Le graphe ci-dessous donne les atténuations des niveaux sonores apportées par ces deux types de casques. Pour un niveau sonore de bruit donné (courbe 1), la courbe 2 donne le niveau sonore après atténuation apportée par un casque passif et la courbe 3 celle apportée par un casque actif.



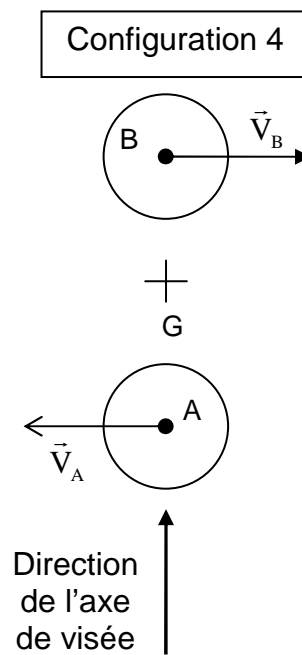
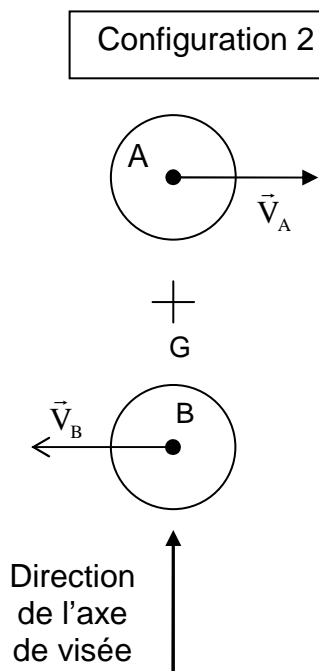
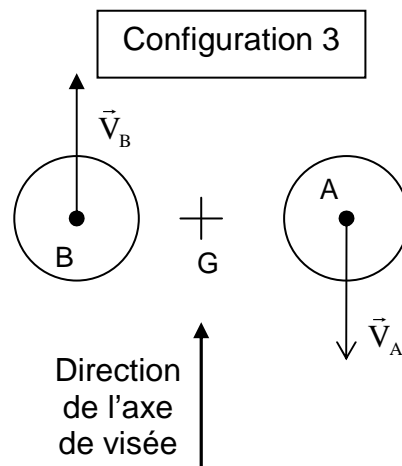
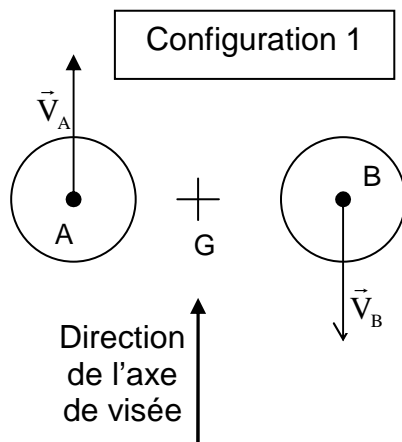
<b>ANNEXE À RENDRE AVEC LA COPIE</b>
--------------------------------------

**EXERCICE 2 : EFFET DOPPLER ET ASTROPHYSIQUE**

Question 2.2.

Pour chaque proposition, indiquer la (les) configuration(s) correcte(s).

Relation entre $\lambda_A$ et $\lambda_B$	$\lambda_A = \lambda_B$	$\lambda_A > \lambda_B$	$\lambda_A < \lambda_B$
Configuration(s)			



Sur ces schémas, l'observateur n'est pas représenté car il est à une très grande distance.